

## Examen final : Physique des systèmes complexes

Correction

### Modèle d'Ising avec interactions de portée infinie

1.  $H(s) = -s^2/(2N) - hs$ .
2. On reconnaît une intégrale gaussienne  $a = \beta N$ ,  $b = \beta s$  (notation du cours) :

$$\int_{-\infty}^{\infty} dm e^{-N\beta \frac{m^2}{2} + \beta(m+h)s} = e^{\beta hs} \int_{-\infty}^{\infty} dm e^{-(N\beta) \frac{m^2}{2} + (\beta s)m} = e^{\beta hs} \sqrt{\frac{2\pi}{N\beta}} e^{(\beta s)^2/(2N\beta)} = \sqrt{\frac{2\pi}{N\beta}} e^{-\beta H} \quad (1)$$

3. On introduit  $Z = \sum_{\{\sigma_i = \pm 1\}} e^{-\beta H}$  qui se factorise selon

$$\sum_{\{\sigma_i = \pm 1\}} e^{\beta(m+h) \sum_i \sigma_i} = \prod_{i=1}^N \sum_{\sigma = \pm 1} e^{\beta(m+h)\sigma} = (2 \cosh(\beta(m+h)))^N \quad (2)$$

de sorte que

$$Z = \sqrt{\frac{N\beta}{2\pi}} \int_{-\infty}^{\infty} dm e^{-N\beta \frac{m^2}{2}} \sum_{\{\sigma_i = \pm 1\}} e^{-N\beta \frac{m^2}{2} + \beta(m+h)s} \quad (3)$$

$$= \sqrt{\frac{N\beta}{2\pi}} \int_{-\infty}^{\infty} dm e^{-N\beta \frac{m^2}{2}} (2 \cosh(\beta(m+h)))^N = \sqrt{\frac{N\beta}{2\pi}} \int_{-\infty}^{\infty} dm e^{-Nf(m)} \quad (4)$$

avec  $f(m) = \beta m^2/2 - \ln[2 \cosh(\beta(m+h))]$ .

4. On a une forme standard pour la méthode du col, avec  $f'(m) = \beta(m - \tanh(\beta(m+h)))$ , et  $f''(m) = \beta(1 - \beta(1 - \tanh^2(\beta(m+h))))$ . Le point col satisfait à  $m_c = \tanh(\beta(m_c + h))$  pourvu que  $f''(m_c) = \beta(1 - \beta(1 - m_c^2)) > 0$  (condition du minimum). On retrouve l'équation auto-cohérente de l'aimantation de la théorie champ moyen mais ici, sans approximations. Pour  $h = 0$ , la température critique est donnée par  $\beta = 1$ . Lorsque  $\beta < 1$ ,  $m_c = 0$ , et clairement  $f''(m_c) > 0$ ,  $f(m_c) = -\ln 2$ . Lorsque  $\beta > 1$ , il y a deux minima dégénérés  $m_c \neq 0$ . Comme en cours, on peut montrer que les solutions non nulles correspondent bien à des minimas (c'est les mêmes équations que le champ moyen). Autrement dit, le champ moyen devient exact pour des interactions de portée infinie.

### Transition de Lifshitz

#### 1. Solution uniforme

- a)  $f_0 = f_L(\phi_0) = \tilde{a}\phi_0^2 + d\phi_0^4$ .
- b)  $\frac{\partial f_0}{\partial \phi_0} = 0 = 2\phi_0(\tilde{a} + 2d\phi_0^2)$  donne  $\phi_0 = 0$  si  $\tilde{a} > 0$  ou  $T \geq T_c$  (phase désordonnée) et  $\phi_0 = \pm \sqrt{-\tilde{a}/2d}$  si  $\tilde{a} < 0$  ou  $T \leq T_c$  (solution plus favorable que  $\phi_0 = 0$ ).
- c) On obtient  $f_0 = 0$  si  $T \geq T_c$  et  $f_0 = -\frac{\tilde{a}^2}{4d}$  si  $T \leq T_c$ .

#### 2. Solution modulée

- a) Avec les approximations de l'énoncé, on obtient

$$f_m = \frac{1}{2} (\tilde{a} + \tilde{g}q^2 + \sigma q^4) \phi_m^2 + \frac{3}{8} d\phi_m^4 \quad (5)$$

- b) Il faut minimiser  $f_m$  par rapport à  $\phi_m$  et  $q$ . La minimisation par rapport à  $q$  donne

$$\frac{\partial f_m}{\partial q} = q(\tilde{g} + 2\sigma q^2) \phi_m^2 = 0 \quad (6)$$

La minimisation par rapport à  $\phi_m$  est  $\frac{\partial f_m}{\partial \phi_m} = 0$ .

- c) Par hypothèse pour la phase modulée, on a  $q \neq 0$  et  $\phi_m \neq 0$  (on serait sinon dans une solution uniforme), donc la dérivée s'annule uniquement si  $\tilde{g} \leq 0$  pour la valeur  $q = \sqrt{-\tilde{g}/2\sigma}$  ( $q < 0$  correspond à la même solution).
- d) En réinjectant  $q^2 = -\tilde{g}/2\sigma$  dans l'expression de  $f_m$ , on obtient bien

$$f_m = \frac{1}{2} \left( \tilde{a} - \frac{\tilde{g}^2}{4\sigma} \right) \phi_m^2 + \frac{3}{8} d \phi_m^4 \quad (7)$$

- e) Pour que  $\phi_m$  soit non-nulle, il faut que le préfacteur du terme  $\phi_m^2$  soit négatif, donc la condition est  $\tilde{a} \leq \tilde{g}^2/4\sigma$ . Dans ce cas, on obtient par minimisation  $\frac{\partial f_m}{\partial \phi_m} = 0$  que  $\phi_m = \pm \sqrt{\frac{2}{3d} (-\tilde{a} + \tilde{g}^2/4\sigma)}$  (les deux signes correspondant à un déphasage de  $\pi$  dans la solution ondulatoire).
- f) En réinjectant la valeur de  $\phi_m$ , on obtient finalement

$$f_m = -\frac{1}{6d} \left( \tilde{a} - \frac{\tilde{g}^2}{4\sigma} \right)^2 \quad (8)$$

3. **Lignes de transition** – On raisonne dans le plan  $(\tilde{g}, \tilde{a})$  pour construire le diagramme de phase.

- a) La solution modulée n'est pas possible donc seules les phases  $D$  et  $U$  sont en compétition. On obtient l'habituelle transition du second ordre de Landau le long de la ligne  $\tilde{a} = 0$  ( $T = T_c$ ).
- b) Lorsque  $\tilde{g} < 0$  et  $\tilde{a} > 0$ , les phases en compétition sont la phase modulée et la phase uniforme désordonnée. Comme  $f_m < 0$  si la phase modulée existe, elle est automatiquement plus favorable à  $f_0 = 0$ . La ligne de transition est donc la condition  $\tilde{a} = \tilde{g}^2/4\sigma$  dans ce cas.  $\phi_m$  s'annulant continûment sur cette ligne de transition, la transition est du second ordre.
- c) Lorsque  $\tilde{g} < 0$  et  $\tilde{a} < 0$ , les phases en compétition sont la phase modulée et la phase uniforme ordonnée. En comparant  $f_m$  et  $f_0$ , la phase uniforme est clairement favorisée lorsque  $|\tilde{a}| \gg \frac{\tilde{g}^2}{4\sigma}$ , tandis que lorsque  $\tilde{a} = 0$ , c'est clairement la phase modulée, si bien que  $M$  est au-dessus de  $O$  dans le diagramme. La ligne de transition correspond à l'égalité  $f_m = f_0$ , ce qui conduit à l'équation  $\tilde{a}^2 + \frac{\tilde{g}}{\sigma} \tilde{a} - \frac{\tilde{g}^2}{8\sigma^2} = 0$ , de solutions  $\tilde{a}_{\pm} = \frac{1}{2} \left( -\frac{\tilde{g}}{\sigma} \pm \sqrt{\frac{\tilde{g}^4}{\sigma^2} + \frac{\tilde{g}^4}{2\sigma^2}} \right)$ . On choisit la solution négative d'où la ligne de transition

$$\tilde{a} = -\kappa \frac{\tilde{g}^2}{\sigma} \text{ avec } \kappa = \frac{1 + \sqrt{3/2}}{2} \quad (9)$$

Comme les deux valeurs  $\phi_0$  et  $\phi_m$  sont non nulles et que  $q$  passe de 0 à une valeur finie, la transition est a priori du premier ordre. Bien que la signification des amplitudes n'est pas tout à fait la même, on peut vérifier qu'elles sont différentes sur la ligne de transition : on trouve  $\phi_{m,c}^2 = \frac{2}{3} (\kappa + 1/4) \frac{\tilde{g}^2}{\sigma d}$  tandis que  $\phi_{0,c}^2 = \frac{\kappa}{2} \frac{\tilde{g}^2}{\sigma d}$ . Il y a donc un saut de paramètre d'ordre à la transition.

- d) On a le diagramme des phases suivant :

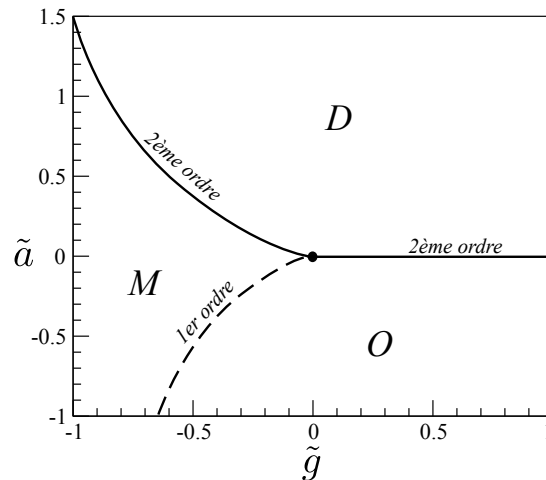


FIGURE 1 – Diagramme de phase.

#### 4. Point de Lifshitz

- a) C'est un point tri-critique où les trois lignes de transition se rejoignent.
- b) On est dans la situation standard de la transition du second ordre de Landau,  $\phi_0 \propto |T_c - T|^{1/2}$  d'après les résultats précédant donc  $\beta = 1/2$ .
- c) i. Sur cette ligne  $\tilde{a} = 0$ , il vient  $\phi_0 = 0$  pour  $p \geq p_c$  et  $|\phi_m| = \frac{1}{\sqrt{6d\sigma}}(p_c - p)$  pour  $p \leq p_c$ . La transition est du second ordre et l'exposant  $\beta' = 1$ .
- ii. Le point critique selon  $p$  est donné par  $\tilde{g}_c = -\sqrt{4\sigma\tilde{a}}$  d'après l'équation de la ligne de transition. On écrit  $\tilde{g} = \tilde{g}_c - \delta g$  avec  $\delta g > 0$  l'écart à gauche du point critique. En injectant cela dans  $\phi_m$ , on obtient  $\phi_m^2 \simeq \frac{8}{3\tilde{a}}\sqrt{\sigma\tilde{a}}\delta g$  et donc  $\beta' = 1/2$  le long de cette ligne.
5. On trouve après une double intégration par parties  $\frac{\delta F}{\delta \phi} = 2\phi''''(x)$ , (la dérivée quatrième à un facteur près).
6. On obtient donc juste un terme supplémentaire en  $\phi''''$  par rapport au cas usuel :

$$\frac{\delta f}{\delta \phi} = -2\tilde{g}\phi''(x) + 2\sigma\phi''''(x) + f'_L(\phi(x)) - h(x) = 0 \quad (10)$$

7. On applique la dérivation fonctionnelle  $\frac{\delta}{\delta h(x)}$  sur l'équation ci-dessus (sachant que  $\frac{\delta h(x)}{\delta h(x')} = \delta(x - x')$ ), ou bien, de façon équivalente on linéarise l'équation en introduisant  $\phi(x) + \delta\phi(x)$  et en ne conservant que les termes linéaires en  $\delta\phi(x)$  : on trouve après avoir fait  $x' = 0$  (même chose qu'en cours ou TD mais avec le terme  $\phi''''$  en plus...)

$$\left[ -2\tilde{g}\frac{\partial^2}{\partial x^2} + 2\sigma\frac{\partial^4}{\partial x^4} + f'_L(\phi) \right] \chi(x) = \delta(x) \quad (11)$$

8. a) En utilisant  $\phi_0 = 0$  et  $f''_L(\phi_0) = 2\tilde{a} > 0$  et que  $4\sigma\tilde{a} \geq \tilde{g}^2$  dans la phase désordonnée, On trouve

$$\chi(k) = \frac{1}{2\sigma} \frac{1}{(k^2 - k_+^2)(k^2 - k_-^2)} \quad (12)$$

avec  $k_{\pm}^2 = \frac{1}{2\sigma} \left[ -\tilde{g} \pm \sqrt{\tilde{g}^2 - 4\sigma\tilde{a}} \right]$  solutions (possiblement complexes) de l'équation  $\sigma k^4 + \tilde{g}k^2 + \tilde{a} = 0$ .

- b) **On se place dans le cas  $\tilde{g}^2 \geq 4\sigma\tilde{a}$ .**
- i. Comme on est dans la phase désordonnée, pour avoir  $\tilde{g}^2 \geq 4\sigma\tilde{a}$ , il faut avoir  $\tilde{g} > 0$ , sinon, on est dans la phase modulée. Dans ce cas, comme  $\sqrt{\tilde{g}^2 - 4\sigma\tilde{a}} < \tilde{g}$ , les deux racines sont réelles négatives ce que l'on peut écrire  $k_{\pm}^2 = (i/\xi_{\pm})^2$  avec  $\xi_{\pm}^{-2} = \frac{\tilde{g}}{2\sigma} \left[ 1 \mp \sqrt{1 - \frac{4\sigma\tilde{a}}{\tilde{g}^2}} \right]$ .
- ii. Le calcul de  $\chi(x)$  se fait en appliquant le théorème des résidus. Il y a quatre pôles simples sur l'axe imaginaire, on aura donc une forme  $\chi(x) = A_+ e^{-|x|/\xi_+} + A_- e^{-|x|/\xi_-}$  pour la fonction de Green.
- iii. On voit que lorsque  $\sigma\tilde{a} \rightarrow 0$ ,  $\xi_+^{-2} \simeq \frac{\tilde{g}}{2\sigma} \frac{2\sigma\tilde{a}}{\tilde{g}^2} = \frac{\tilde{a}}{\tilde{g}}$ , c'est le résultat usuel dans la phase désordonnée pour la fonction de corrélation, tandis que  $\xi_-^{-2} \simeq \frac{\tilde{g}}{\sigma}$  reste constante tant que  $\tilde{g} \neq 0$ . Le terme en  $\xi_-$  donne une contribution d'autant plus sous-dominante que  $\sigma$  est petit, ce qui est cohérent avec le fait de négliger ces termes habituellement tant que  $g > 0$ . De plus, lorsque  $\tilde{a} \rightarrow 0$ , au voisinage du point critique,  $\xi_+$  diverge et le terme en  $\xi_-$  devient non pertinent dans la description.
- c) **On se place dans le cas  $\tilde{g}^2 \leq 4\sigma\tilde{a}$ .**
- i. On a alors  $k_{\pm}^2 = \frac{1}{2\sigma} \left[ -\tilde{g} \pm i\sqrt{4\sigma\tilde{a} - \tilde{g}^2} \right]$ . En prenant la racine carrée de ces deux nombres complexes, on crée 4 pôles simples dans chacun quadrant du plan complexes (faire un schéma).
- ii. Dans le théorème des résidus,  $k_i$  va donner des termes à décroissance exponentielle tandis que  $k_r$  va conduire des **oscillations** dans la fonction de corrélation, typiquement, on aura

$$\chi(x) \simeq A_+ \cos(k_r x) e^{-k_i |x|} \quad (13)$$

*N-B : le sujet présente une version simplifiée de la transition de Lifshitz qui concerne habituellement des systèmes à dimension supérieure à 1 où le terme laplacien carré provient de la partie anisotrope. De façon assez générale, transition de Lifshitz désigne une transition spontanée vers un état modulé.*

# Fin.